

**ZPRÁVA
O ZNEČIŠTĚNÍ OVZDUŠÍ
V PLZNI - LITICÍCH**

Březen 2010

1 Stanoviště

Mobilní stanice sítě AMS Plzeň byla v lednu roku 2009 přemístěna ze stanoviště na Borech do Litic, do ulice Štěnovická. Přesun proběhl ve dnech 20. – 23. ledna. Na tomto místě byla až do 20. února 2010.

2 Data

Data byla převzata v rozsahu od 1.2.2009 do 31.1.2010. Přitom měření přístrojem GRIM probíhalo pouze v období květen až listopad 2009.

Pro porovnání jsou uvedeny údaje ze stanic Plzeň-Slovany a Plzeň-Doubravka (Chlum).

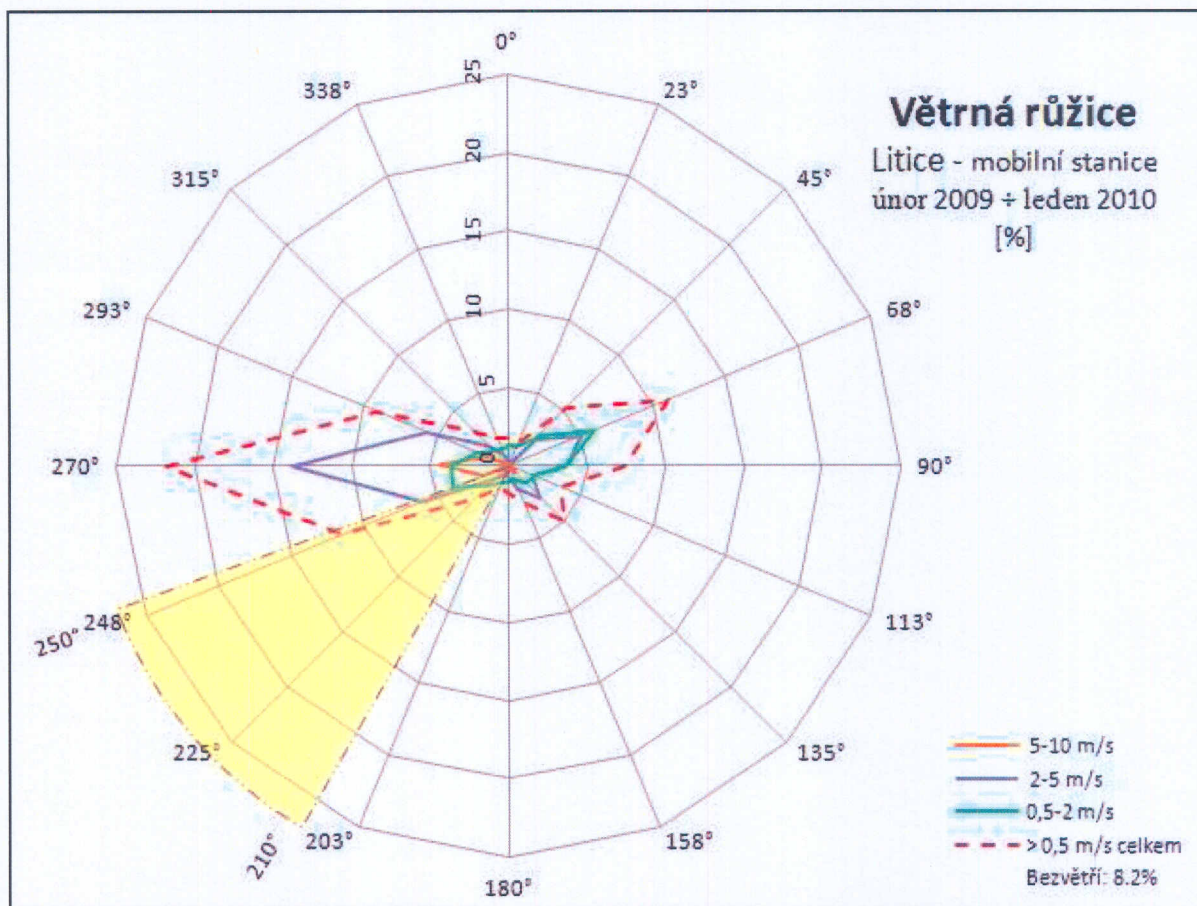
Sledované jsou koncentrace suspendovaných částic PM_{10} , měřené metodou radiometrie a frakce PM_{10} , $PM_{2,5}$ a PM_1 měřené přístrojem GRIM.

Pro posouzení zdrojů znečištění jsou zde uvedeny ještě koncentrace CO a NO_x .

Výchozí hodnotou pro všechny výpočty jsou průměrné hodinové koncentrace, rozdělené podle rychlosti a směru větru.

Podle směru větru byl azimutem 210 až 250° vymezen sektor, z kterého může lom Litice mít vliv na území Litic.

3 Větrná růžice



4 Statistika měření

Rozsah hodnot koncentrací PM_{10} je uváděn v $\mu g/m^3$.

Tab. 1 Statistické hodnoty měření PM_{10} – radiometrie

		radiometrie				GRIM		
období od 1.2.09 do 31.1.10		počet hodin	počet měřených hodin	Percentil 0.25	Percentil 0.75	počet měřených hodin	Percentil 0.25	Percentil 0.75
WV < 0.5	bezvětří	1210	1184	21.0	49.0	503	24.8	52.5
WV > 0.5	ost.směry	4277	4107	10.0	28.0	1665	11.0	27.0
	210<WD<250	3273	3168	18.0	42.0	1344	17.4	37.0
	celkem	7550	7275	12.0	34.0	3009	13.2	32.4
vše 1.2.09 ÷ 31.1.10		8760	8335	13.0	36.0	3512	14.3	35.3

Poznámka: WV = rychlost větru; WD = směr větru

5 Naměřené hodnoty koncentrací znečišťujících látek

5.1 Průměrné jednohodinové koncentrace PM_{10}

Naměřené hodnoty průměrných hodinových koncentrací se v průběhu celého sledovaného období pohybovaly převážně v rozmezí 13÷36 $\mu g/m^3$. Při zhoršení rozptylových podmínek bylo dosaženo hodnoty až 100,8 $\mu g/m^3$.

Statistické hodnoty průměrných 1-hodinových koncentrací naměřených mobilní stanicí v Plzni Liticích uvádí následující tabulka.

Tab. 2 Statistika jednohodinových průměrů koncentrace PM_{10} – radiometrie

PM10	celkem v místě			bezvětří			od lomu (210,WD<250)			ostatní směry		
měsíc	Max. [$\mu g/m^3$]	Průměr [$\mu g/m^3$]	Výpadek [hodiny]	Max. [$\mu g/m^3$]	Průměr [$\mu g/m^3$]	Výpadek [hodiny]	Max. [$\mu g/m^3$]	Průměr [$\mu g/m^3$]	Výpadek [hodiny]	Max. [$\mu g/m^3$]	Průměr [$\mu g/m^3$]	Výpadek [hodiny]
02/09	160	21.8	0	160	31.8	0	64	24.3	0	113	20.3	0
03/09	325	22.5	0	48	28.5	0	55	24.0	0	325	21.7	0
04/09	356	36.3	0	220	47.9	0	356	37.7	0	236	27.1	0
05/09	106	21.3	72	70	28.3	8	106	19.9	32	94	20.8	32
06/09	144	24.4	57	117	29.8	4	104	27.5	27	144	20.7	26
07/09	193	25.1	69	113	32.8	4	193	33.2	13	150	20.1	52
08/09	179	26.9	66	54	28.2	8	179	25.5	22	133	28.0	36
09/09	110	31.6	20	110	40.4	2	102	32.7	11	67	24.8	7
10/09	126	23.5	9	73	35.9	0	101	29.5	0	126	19.4	9
11/09	286	30.7	8	286	59.5	0	185	35.6	0	191	21.0	8
12/09	114	28.9	0	97	41.4	0	114	33.5	0	92	22.3	0
01/10	139	37.5	0	121	45.6	0	91	44.0	0	139	25.4	0



5.2 Denní průměry

V následující tabulce jsou uvedeny dny, ve kterých průměrná 24 hodinová koncentrace PM_{10} překročila stanovený imisní limit. Barevně zvýrazněna je maximální hodnota koncentrace a také směry větru, zasahující do vymezeného sektoru. Hodnoty těsně za hranicí sektoru jsou zvýrazněny kurzivou.

Tab. 3 Překročení imisního limitu IH_{24h}

pořadí	den	denní průměr [$\mu\text{g}/\text{m}^3$]	směr větru [deg]	střední rychlost větru [m/s]	maximální rychlost větru [m/s]
1	17.3.09	54.3	293.5	3.3	4.6
2	5.4.09	100.8	72.5	1.2	5.6
3	6.4.09	67.6	97.5	1.4	3.5
4	7.4.09	62.7	214.5	0.4	4.9
5	8.4.09	57.3	265	2.2	4.3
6	29.6.09	53.9	101	0.9	2.4
7	1.7.09	58.0	99	1.0	3.1
8	2.7.09	52.5	95	0.9	4.4
9	21.8.09	53.3	258.5	1.2	2.5
10	17.9.09	59.2	58	3.4	5.0
11	20.9.09	55.4	237	0.7	1.7
12	21.9.09	53.1	73.5	0.7	2.7
13	22.9.09	53.1	254.5	0.8	4.0
14	20.11.09	94.0	225.5	0.4	1.4
15	21.11.09	85.5	147.5	0.3	1.3
16	19.12.09	70.8	115.5	1.4	3.3
17	22.12.09	72.4	99.5	1.2	4.2
18	7.1.10	52.5	93.5	1.3	2.5
19	8.1.10	50.5	64	4.1	5.6
20	12.1.10	51.4	85.5	2.2	4.0
21	22.1.10	61.3	75.5	2.2	3.8
22	26.1.10	55.4	81	2.5	3.9
23	27.1.10	79.3	255	1.0	7.8

Imisní limit $IH_{24h} = 50 \mu\text{g}/\text{m}^3$.

5.3 GRIM – PM_{10} , $PM_{2,5}$ a PM_1

Hodnoty koncentrací jsou dostupné pouze v rozsahu květen až listopad 2009 a v příloze je vytvořen skládaný graf, odpovídající váhovému zastoupení jednotlivých frakcí v celkovém množství suspendovaných částic PM_{10} .

Tab. 4 Poměrné zastoupení jednotlivých frakcí v procentech

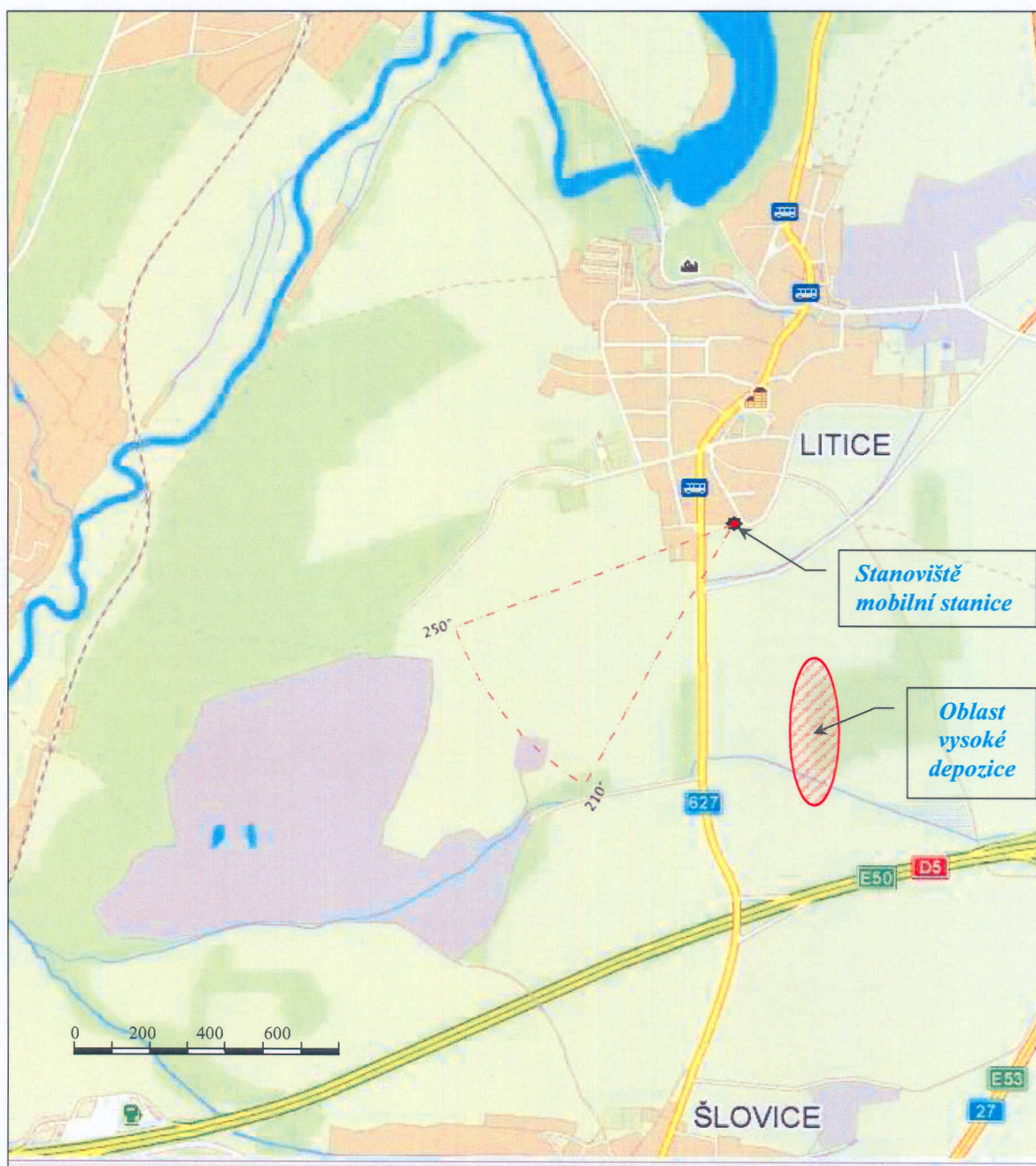
[%]	celkem v místě			bezvětrí			od lomu			ostatní směry		
	PM_{10}	$PM_{2,5}$	PM_1	PM_{10}	$PM_{2,5}$	PM_1	PM_{10}	$PM_{2,5}$	PM_1	PM_{10}	$PM_{2,5}$	PM_1
měsíc												
05/09	35.6	10.5	53.9	32.6	13.0	54.5	30.5	9.4	60.1	42.8	10.9	46.3
06/09	40.0	10.6	49.4	36.8	14.1	49.1	25.5	8.3	66.2	55.1	11.9	33.0
07/09	37.5	16.6	45.9	31.4	19.2	49.4	32.1	11.4	56.6	41.4	18.2	40.4
08/09	34.8	10.0	55.2	29.0	10.9	60.1	35.2	8.5	56.3	37.1	11.4	51.5
09/09	28.7	7.0	64.3	32.7	8.4	58.9	23.8	5.3	70.9	35.8	9.9	54.3
10/09	12.4	5.8	81.7	13.8	7.7	78.5	10.4	4.8	84.8	12.4	6.1	81.5
11/09	16.8	8.5	74.7	18.6	7.9	73.5	10.8	6.5	82.7	18.5	10.8	70.6



5.4 Koncentrace NO_x a CO

Hodnoty koncentrací těchto látek byly vyhodnoceny ve stejném rozsahu jako koncentrace suspendovaných částic PM_{10} a výsledky jsou znázorněny v připojených grafech.

6 Situace v místě



7 Závěr

Jako základ všech statistických výpočtů v této zprávě byly použity jednohodinové průměry koncentrací škodlivých látek a byly z nich vypočteny průměrné denní a průměrné měsíční hodnoty. Pro porovnání vlivu lomu Litice byly hodnoty koncentrací rozděleny podle směru větru. Podle větrné růžice na straně 1 jsou četnosti směrů větru ve vymezeném sektoru „jihozápad“ poměrně nízké (cca 15%), převládá především západní proudění.

V grafech na straně 1 a 4 přílohy jsou stejnobarevnými čarami vymezeny rozsahy nejčtenějších (1. až 3. kvartil) hodnot koncentrací sledovaných látek pro jednohodinové průměrné hodnoty v daném měsíci, přičemž barevně jsou odlišeny jednotlivé směry větru. Přerušovanou čarou je vyznačen rozsah četností bez uvažování směru větru.

V porovnání grafů na 1. straně přílohy je patrné zvýšení koncentrace PM_{10} v jarních a podzimních měsících shodně na všech třech srovnávaných stanicích. Přitom je z grafu zřejmá celková vyšší úroveň koncentrace PM_{10} na mobilní stanici v Liticích. Přesto lze konstatovat, že průměrné měsíční hodnoty koncentrace PM_{10} v Liticích i jejich změny jsou srovnatelné s hodnotami na stanici Plzeň-Slovany. Na mobilní stanici byla naměřena také znatelně vyšší koncentrace CO (v ročním průměru Litice $520 \mu\text{g}/\text{m}^3$; Slovany $408 \mu\text{g}/\text{m}^3$; Doubravka $367 \mu\text{g}/\text{m}^3$) i vyšší koncentrace NO_x a to především za bezvětří (při rychlosti větru menší než $0,5 \text{ m/s}$).

Imisní limit denních průměrů koncentrací PM_{10} ($IH_{24h} = 50 \mu\text{g}/\text{m}^3$) byl v uvedeném období překročen na stanovišti v Liticích 23krát, v jednom případě až dvojnásobně. Při proudění větru ve směru od lomu byly naměřeny pouze 3 případy překročení (tj. 13%, což přibližně odpovídá četnosti směru proudění od lomu), všechny nastaly za velmi slabého větru nebo téměř bezvětří. Další 3 případy byly indikovány těsně za hranicí vymezeného sektoru.

Z údajů naměřených přístrojem GRIM v období od května do listopadu 2009 je vidět vyšší zastoupení frakce PM_1 v PM_{10} při bezvětří a při směru větru od lomu Litice, přitom zastoupení jemné frakce se zvyšuje v podzimních měsících a to především za bezvětří.

V příloze na straně 6 je vynesena závislost průměrné koncentrace PM_{10} na směru větru, rozdělená po jednotlivých měsících. V dubnu je vysoká koncentrace způsobena větrem od severu a severovýchodu, v letních a podzimních měsících nastávají vyšší koncentrace při směru větru z jihu a jihovýchodu. Celkový roční průměr (přerušovaná čára) vykazuje nejnižší hodnoty koncentrací PM_{10} při směru větru ze západu a severozápadu a nejvyšší koncentrace z východu.

Z uvedených faktů vyplývá, že provedená měření nepotvrdila očekávaný nepříznivý vliv pouze činnosti v lomu na prašnost v místě měření, ale naopak se i zde uplatňuje negativní vliv místních zdrojů vytápění v obci Litice zejména v zimním a přechodném období a vliv dopravy na komunikaci 627 a nejbližších místních komunikacích.

Opticky je možno potvrdit, že negativní vliv lomu převažuje jižněji od okraje obce (východně od lomu) formou světlého zaprášení západního okraje lesa mezi silnicí 627, I/27 a dálnicí D5.

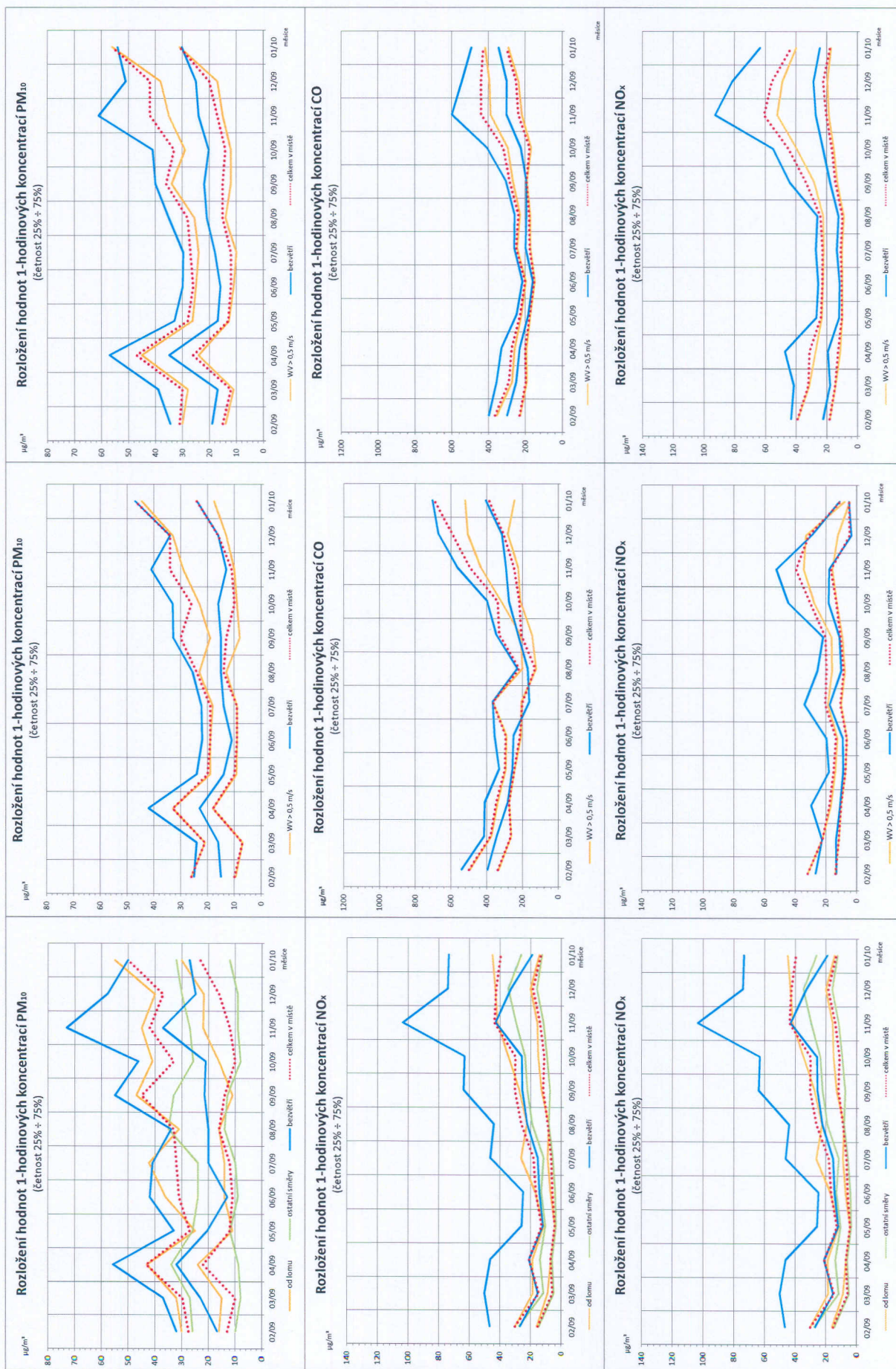


Litice - porovnání s AMS Plzeň

Plzeň - Doubavka

Litice

Plzeň - Slovany

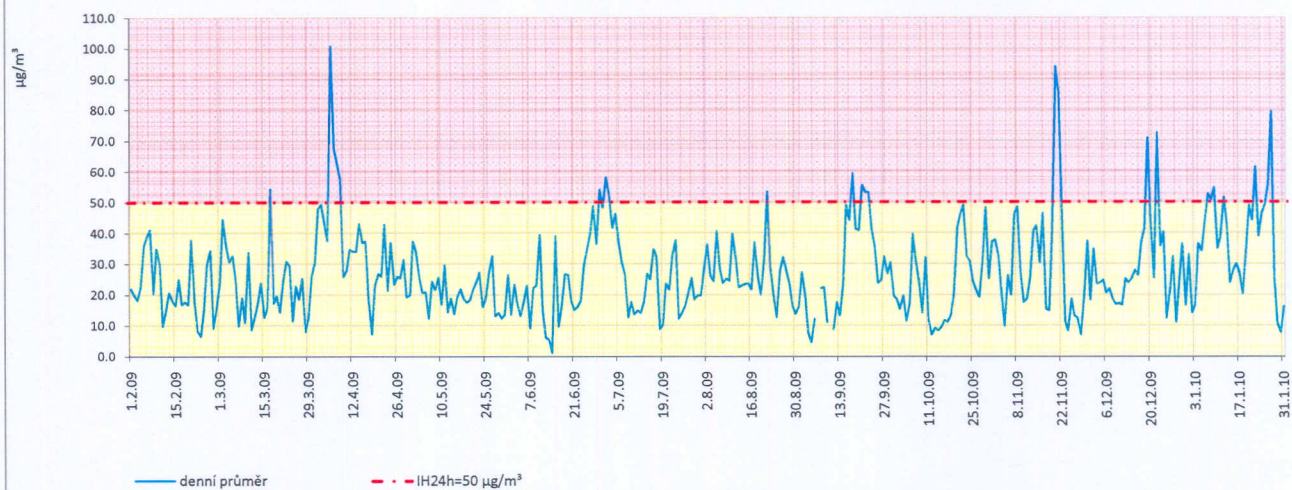


Koncentrace PM₁₀ - porovnání průměrných hodnot

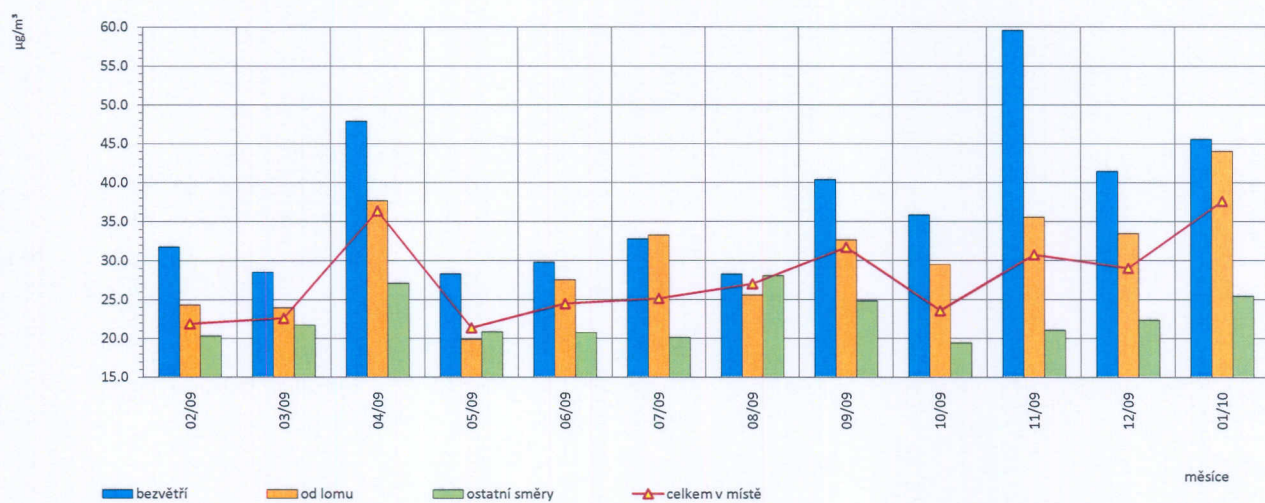


Litice - průměrné hodnoty koncentrací

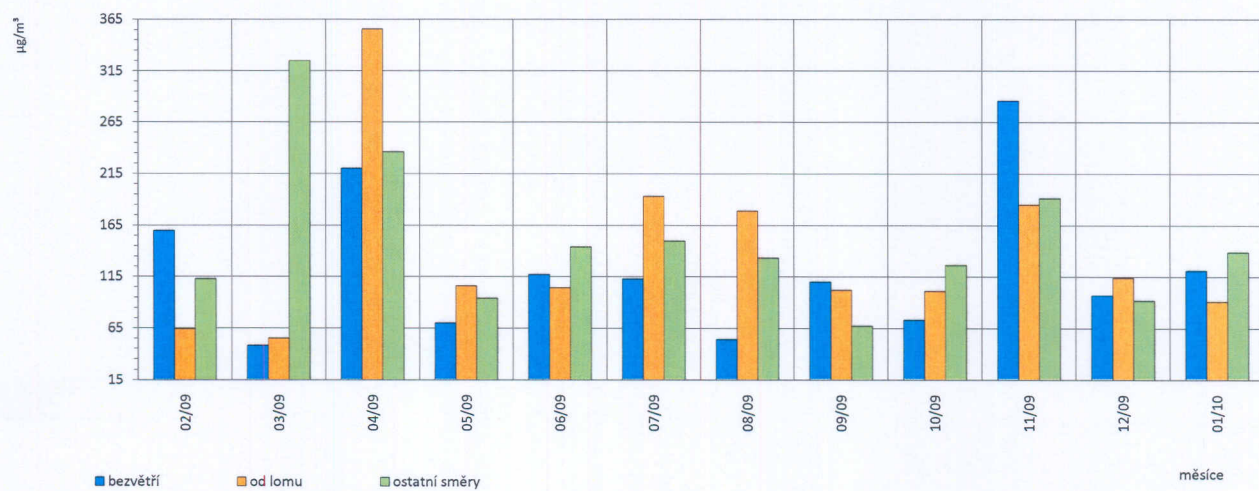
PM₁₀ - Litice
denní průměry



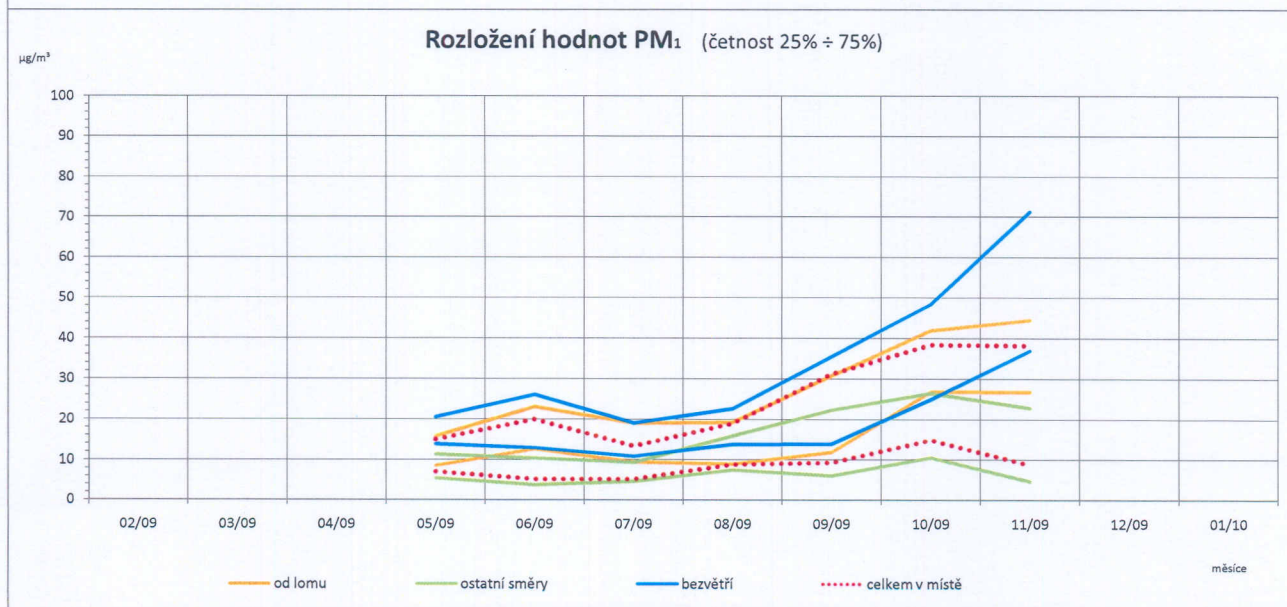
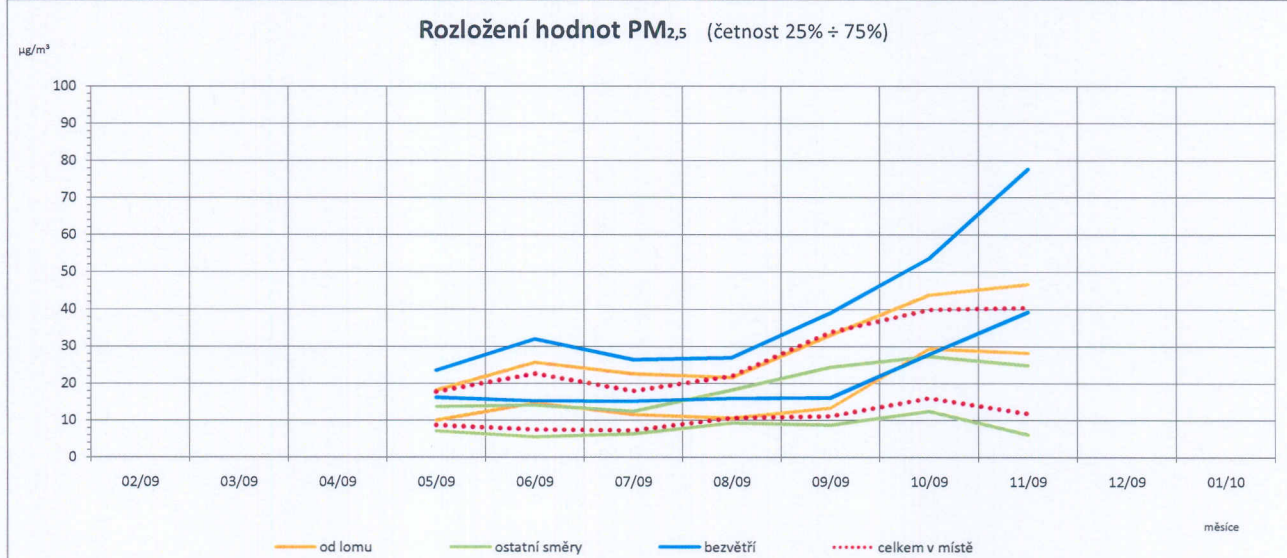
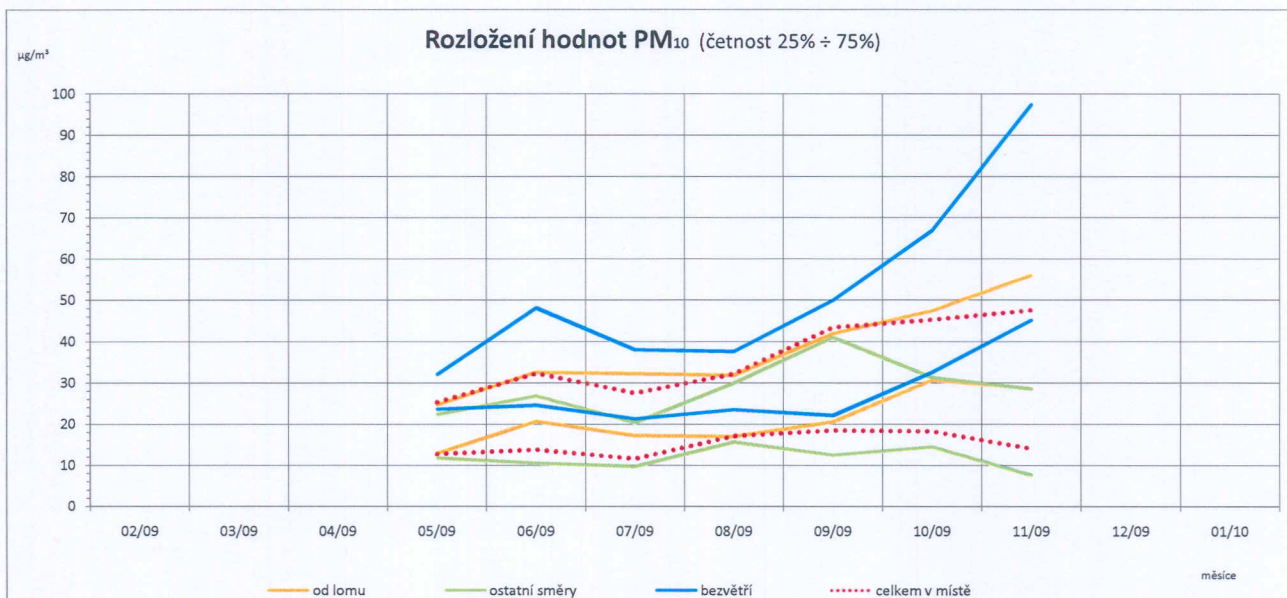
PM₁₀ - Litice
průměrné měsíční hodnoty



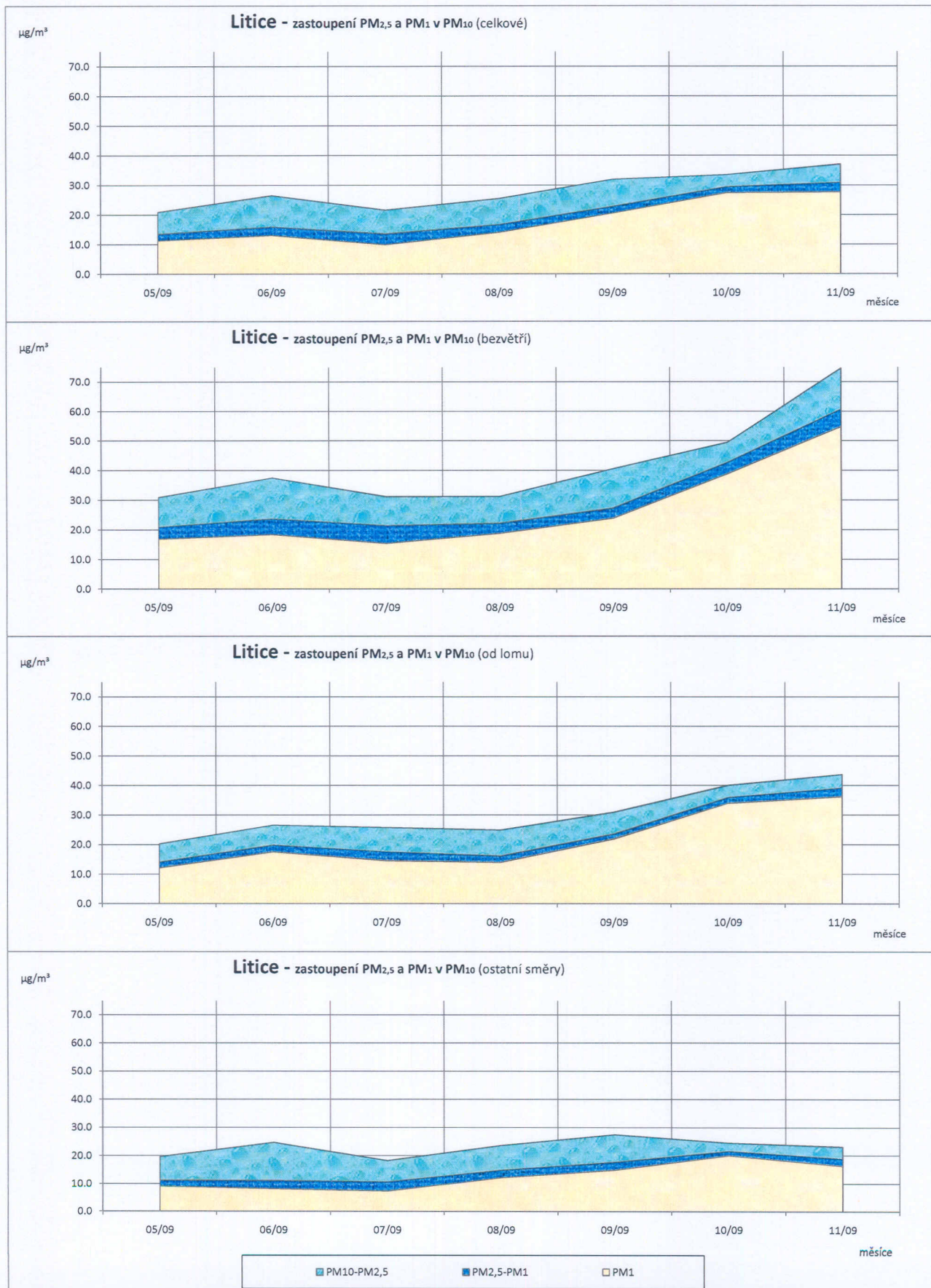
PM₁₀ - Litice
max. hodinové průměry



Litice - přístroj GRIM



Litice - přístroj GRIM



Litice - koncentrace PM₁₀

